

The Phase Investigation of $\text{Mo} + 2(1 - x)\text{Si} + 2x\text{Al}$ Compounds

S. A. Tayebifard, K. Ahmadi, R. Yazdani-Rad, M. Doroudiam

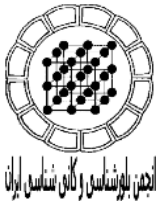
Meshkindashd-Karaj- Materials and Energy Research Center (MERC)- po.Box.1787/316

Email: a-tayebi@merc.ac.ir

(Received: 24/4/2007, in revised form:23/10/2007)

Abstract: X-ray powder diffraction data for $\text{Mo}_{2.85}\text{Al}_{1.91}\text{Si}_{4.81}$ are presented here. The new $\text{Mo}_{2.85}\text{Al}_{1.91}\text{Si}_{4.81}$ compound was successfully prepared, using the self-propagating high-temperature synthesis (SHS) technique. The starting atomic mixture of reactant powders was $\text{Mo} + 2(1 - x)\text{Si} + 2x\text{Al}$ with $0.2 \leq x \leq 0.5$. The final powder compound obtained by the SHS technique was determined to be in $x = 0.2$; $\text{Mo}(\text{Si}, \text{Al})_2$ and in $0.3 \leq x \leq 0.5$; $\text{Mo}_{2.85}\text{Al}_{1.91}\text{Si}_{4.81}$. respectively X-ray powder diffraction pattern of $\text{Mo}_{2.85}\text{Al}_{1.91}\text{Si}_{4.81}$ was recorded using an X-ray powder diffractometer and $\text{CuK}\alpha$ radiation that have been analyzed by automatic indexing programs. $\text{Mo}_{2.85}\text{Al}_{1.91}\text{Si}_{4.81}$ was found to be hexagonal.

Keywords: $\text{Mo} + 2(1 - x)\text{Si} + 2x\text{Al}$, SHS, $\text{Mo}_{2.85}\text{Al}_{1.91}\text{Si}_{4.81}$.



بررسی فازی ترکیبات $Mo + 2(1 - x) Si + 2xAl$

سید علی طیبی فرد، کامران احمدی، رحیم یزدانی راد، مسعود درودیان

پژوهشگاه مواد و انرژی، کرج-مشکین دشت
پست الکترونیکی: a-tayebi@merc.ac.ir

(دریافت مقاله ۱۳۸۶/۲/۴، دریافت نسخه نهایی ۱۳۸۶/۸/۱)

چکیده: در این مقاله روی داده‌های پراش پرتو X (XRD) حاصل از آنالیز ترکیبات سیستم Mo - Si - Al سنتز شده به روش SHS بحث شده است. تا به حال فناوری SHS یا سنتز گرمایی برای تهیه انواع سرامیک‌ها، اینترمتالیک‌ها و مواد کامپوزیتی استفاده شده است. در این کار پژوهشی واکنش گرمایی بین Mo و Si به عنوان اجزای اصلی گرما و Al به عنوان افزودنی، مورد بررسی قرار گرفته است. مخلوط استوکیومتری پودرهای مواد اولیه مطابق فرمول $Mo + 2(1 - x) Si + 2xAl$ اگر $0.2 \leq x \leq 0.5$ ، انتخاب شده است. در $x = 0.2$ فاز اصلی $Mo(Si, Al)_2$ با ساختار ششگوشی ردیابی شد، ولی با افزایش آلومینیم به مقادیر $0.3 \leq x \leq 0.5$ فاز اصلی به فاز ناشناخته‌ای تغییر کرد. با معرفی این فاز به مرجع شناسایی فازهای جدید (ICDD) این فاز با فرمول $Mo_{2.85}Al_{1.91}Si_{4.81}$ و دارای ساختار ششگوشی به عنوان یک فاز جدید مورد تأیید قرار گرفت.

واژه‌های کلیدی: $Mo_{2.85}Al_{1.91}Si_{4.81}$ ، SHS، $Mo + 2(1 - x) Si + 2xAl$

مقدمه

[۳]. از میان روش‌های گوناگون سنتز ترکیبات $MoSi_2$ روش SHS با برتری‌هایی چون؛ سادگی فرایند، کاهش مصرف انرژی و زمان، سرعت بالای سنتز، خلوص بالاتر محصول نسبت به مواد اولیه، و ارزانی تجهیزات، برای فرایند سنتز می‌تواند به عنوان گزینه مناسبی باشد [۴]. در این بررسی واکنش گرمایی بین Mo و Si به عنوان اجزای اصلی گرمادهی و Al به عنوان افزودنی مورد مطالعه قرار گرفته است.

روش مطالعه

مخلوط استوکیومتری پودرهای مواد اولیه به صورت فرمول $Mo + 2(1 - x)Si + 2xAl$ و $0.2 \leq x \leq 0.5$ ، انتخاب شد. سپس پودر مخلوط به شکل نمونه‌هایی استوانه‌ای شکل با پرس تک محوری فشرده شده و برای سنتز به راکتور گرما ارسال

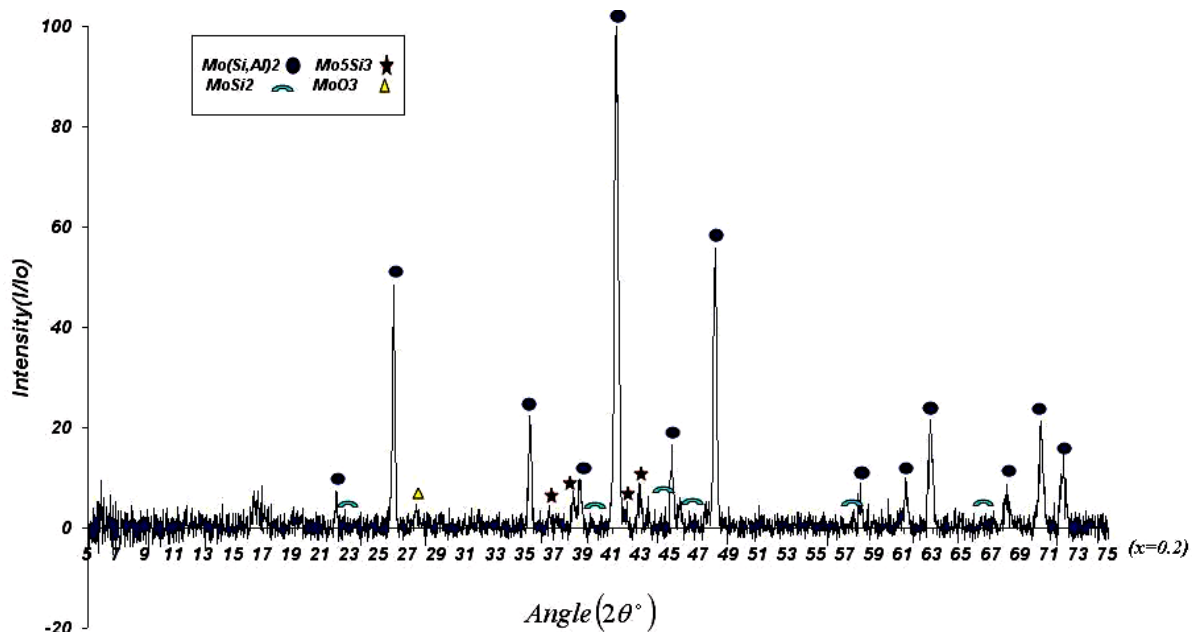
مولیبدن دی سیلیساید ($MoSi_2$) یکی از ترکیبات اینترمتالیک با ویژگی‌های خاصی از قبیل؛ رسانندگی گرمایی و الکتریکی قابل مقایسه با فلزات، مقاومت به اکسایش در دماهای بالا، پایداری در محیط‌های خورنده شیمیایی و نیز چگالی نسبتاً پایین در مقایسه با فلزات، در دهه‌های اخیر به عنوان نامزد مناسبی برای کاربردهای دمای بالا در فناوری نوین مطرح شده است [۱، ۲]. ولی علی‌رغم این قابلیت‌های بی‌نظیر، به دلیل تردی و شکننده بودن در دمای پایین، افت استحکام مکانیکی در دمای بالا، و اکسایش تخریبی در دماهای $400-500^\circ C$ کاربرد آن به صورت خالص در مواد سازه‌ای با محدودیت زیادی روبرو است. یکی از راهکارهای پیشنهادی برای بهبود خواص $MoSi_2$ اضافه کردن فلزی مثل Al به ترکیب مواد اولیه است

شد. و در نهایت نمونه‌های سنتز شده با استفاده از آنالیز پراش پرتو X مورد بررسی فازی قرار گرفتند.

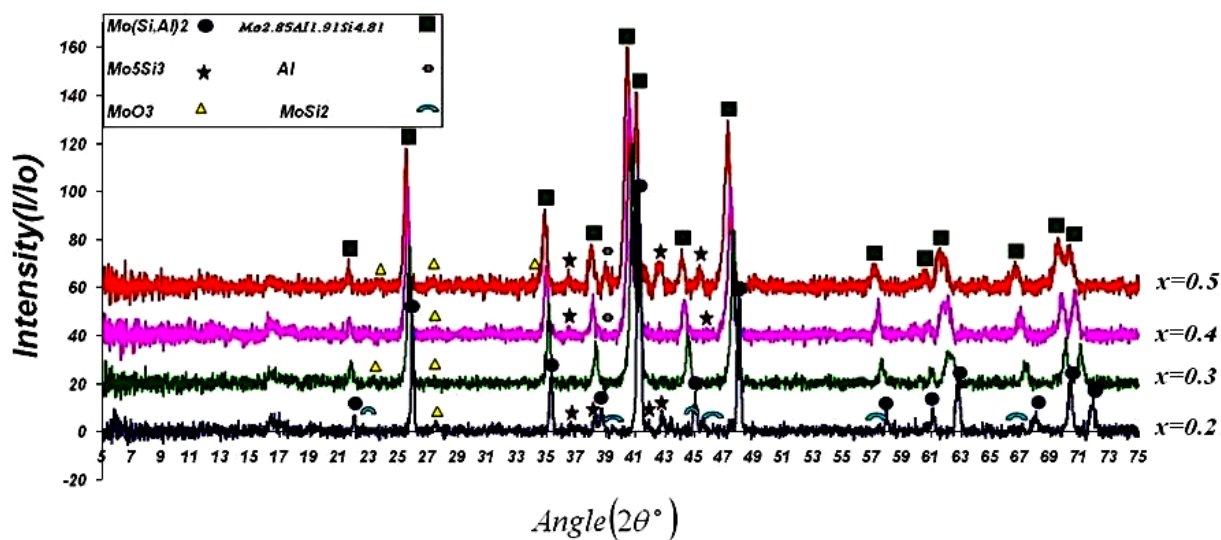
بحث و بررسی

بررسی نمونه‌های سنتز شده با آنالیز پراش پرتو X (XRD) نشان داد که در $x = 0.2$ فاز اصلی $\text{Mo}(\text{Si}, \text{Al})_2$ دارای کارت ICDD-JCPDS Card No.19-0032 و ساختار ششگوشی ردیابی می‌شود. ولی با افزایش آلومینیم به مقادیر $0.3 \leq x \leq 0.5$ برای شناسایی محل دقیق قله‌ها از نرم افزار اندازه‌گیری و فرآوری، APD-3.6g استفاده شد. شدت خطوط پراش از اندازه‌گیری ارتفاع قله بالای زمینه به دست آمد، و به صورت درصدی از شدیدترین خط بیان شده است. الگوهای پراش پرتو X با استفاده از نرم افزارهای رایانه‌ای شناسایی شدند.

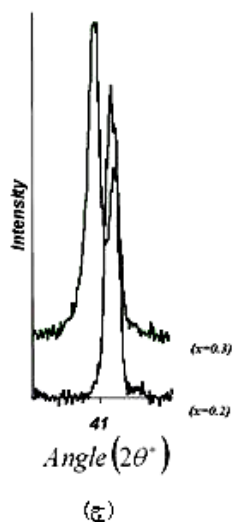
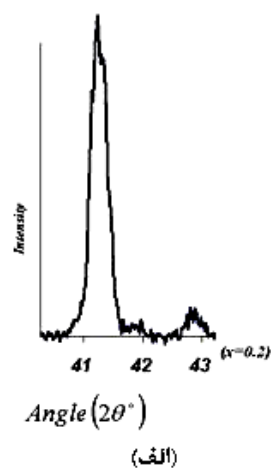
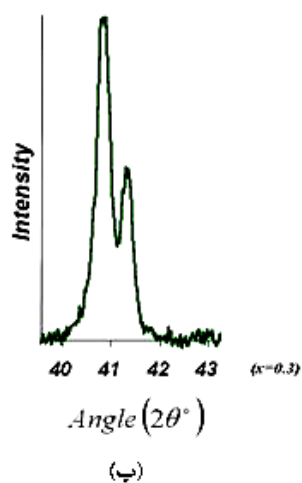
شکل ۱ الگوی پرتو پراش X نمونه با ترکیب $\text{Mo} + 2(1-x)\text{Si} + 2x\text{Al}$ و $x = 0.2$ را نشان می‌دهد. در اینجا فاز اصلی $\text{Mo}(\text{Si}, \text{Al})_2$ و فازهای فرعی MoSi_2 ، Mo_5Si_3 ، MoO_3 ، Mo_3Si_3 ، Mo_5Si_3 ، Mo_3Si_3 پراش X نمونه‌های با ترکیب $\text{Mo} + 2(1-x)\text{Si} + 2x\text{Al}$ و $0.3 \leq x \leq 0.5$ را در مقایسه با الگوی نمونه $x = 0.2$ نشان می‌دهد. وجه تمایز چشمگیر الگوی نمونه $x = 0.2$ با بقیه نمونه‌ها، دو قلوبی شدن قله بیشینه ($I/I_0 = 100$) در نمونه‌های با مقدار



شکل ۱ الگوی پراش پرتو X از نمونه با ترکیب $\text{Mo} + 2(1-x)\text{Si} + 2x\text{Al}$ ، $x = 0.2$ (فاز اصلی $\text{Mo}(\text{Si}, \text{Al})_2$).



شکل ۲ الگوی پراش پرتو X؛ از نمونه‌های با ترکیب $\text{Mo} + 2(1-x)\text{Si} + 2x\text{Al}$ در $x = 0.5$ تا $x = 0.2$ در یک نمودار به همراه با معرفی فازهای اصلی و فرعی سنتز شده



شکل ۳ الگوی پراش پرتو X (در گستره قله ۱۰۰) از نمونه‌های با ترکیب $\text{Mo} + 2(1-x)\text{Si} + 2x\text{Al}$: الف- $x = 0.2$ ، ج- $x = 0.3$ و د- $x = 0.2$ و $x = 0.3$ در یک نمودار.

جدول ۱ داده‌های پراش پرتو X (مشاهده و محاسبه شده) فاز جدید $Mo_{2.85}Al_{1.91}Si_{4.81}$.

| h | k | l | dobs | dcal | dif.d | 2 θ obs | 2 θ cal | θ 2.dif | 100*I/I ₀ |
|---|---|---|---------|---------|----------|----------------|----------------|----------------|----------------------|
| ۱ | ۰ | ۰ | ۴,۰۶۵۳۱ | ۴,۰۶۳۷۳ | ۰,۰۰۱۵۸ | ۲۱,۸۴۵ | ۲۱,۸۵۴ | -۰,۰۰۹ | ۸,۱ |
| ۱ | ۰ | ۱ | ۳,۴۵۳۰۲ | ۳,۴۵۳۳۰ | -۰,۰۰۰۲۸ | ۲۵,۷۸۰ | ۲۵,۷۷۸ | ۰,۰۰۲ | ۶۷,۸ |
| ۱ | ۰ | ۲ | ۲,۵۴۹۹۹ | ۲,۵۵۰۲۶ | -۰,۰۰۰۲۷ | ۳۵,۱۶۵ | ۳۵,۱۱۱ | ۰,۰۰۴ | ۲۹,۱ |
| ۱ | ۱ | ۰ | ۲,۳۴۶۹۹ | ۲,۳۴۶۳۱ | ۰,۰۰۰۶۸ | ۳۸,۳۲۰ | ۳۸,۳۳۲ | -۰,۰۱۲ | ۱۲,۸ |
| ۱ | ۱ | ۱ | ۲,۲۰۹۳۵ | ۲,۲۰۸۹۲ | ۰,۰۰۰۴۳ | ۴۰,۸۱۰ | ۴۰,۸۱۸ | -۰,۰۰۸ | ۱۰۰ |
| ۰ | ۰ | ۳ | ۲,۱۸۳۵۱ | ۲,۱۸۳۷۰ | -۰,۰۰۰۱۹ | ۴۱,۳۱۵ | ۴۱,۳۱۱ | ۰,۰۰۴ | ۳۳,۴ |
| ۲ | ۰ | ۰ | ۲,۰۳۱۵۲ | ۲,۰۳۱۹۸ | -۰,۰۰۰۴۶ | ۴۴,۵۶۵ | ۴۴,۵۵۴ | ۰,۰۱۱ | ۱۲,۱ |
| ۱ | ۱ | ۲ | ۱,۹۰۷۵۱ | ۱,۹۰۷۴۷ | ۰,۰۰۰۰۴ | ۴۷,۶۳۵ | ۴۷,۶۳۶ | -۰,۰۰۶ | ۶۵,۷ |
| ۱ | ۱ | ۳ | ۱,۵۹۸۶۹ | ۱,۵۹۸۵۴ | ۰,۰۰۰۱۵ | ۵۷,۶۱۰ | ۵۷,۶۱۶ | -۰,۰۰۶ | ۶,۹ |
| ۲ | ۱ | ۰ | ۱,۵۳۵۴۹ | ۱,۵۳۶۰۶ | -۰,۰۰۰۵۷ | ۶۰,۲۲۰ | ۶۰,۱۹۶ | ۰,۰۲۴ | ۱,۸ |
| ۱ | ۰ | ۴ | ۱,۵۱۹۱۸ | ۱,۵۱۹۰۹ | ۰,۰۰۰۰۹ | ۶۰,۹۳۵ | ۶۰,۹۳۹ | -۰,۰۰۴ | ۶,۰ |
| ۲ | ۱ | ۱ | ۱,۴۹۵۶۲ | ۱,۴۹۵۵۰ | ۰,۰۰۰۱۱ | ۶۲,۰۰۰ | ۶۲,۰۰۵ | -۰,۰۰۵ | ۱۰,۰ |
| ۲ | ۰ | ۳ | ۱,۴۸۷۶۳ | ۱,۴۸۷۶۰ | ۰,۰۰۰۰۲ | ۶۲,۳۷۰ | ۶۲,۳۷۱ | -۰,۰۰۱ | ۱۶,۳ |
| ۲ | ۱ | ۲ | ۱,۳۹۰۶۸ | ۱,۳۹۰۷۵ | -۰,۰۰۰۰۶ | ۶۷,۲۷۰ | ۶۷,۲۷۶ | ۰,۰۰۳ | ۵,۸ |
| ۳ | ۰ | ۰ | ۱,۳۵۴۲۲ | ۱,۳۵۴۶۹ | -۰,۰۰۰۴۶ | ۶۹,۳۳۵ | ۶۹,۳۰۸ | ۰,۰۲۷ | ۱,۸ |
| ۱ | ۱ | ۴ | ۱,۳۴۲۹۸ | ۱,۳۴۳۰۰ | -۰,۰۰۰۰۳ | ۷۰,۰۰۰ | ۶۹,۹۹۸ | ۰,۰۰۲ | ۱۹,۲ |
| ۳ | ۰ | ۱ | ۱,۳۲۶۶۶ | ۱,۳۲۶۶۲ | ۰,۰۰۰۰۳ | ۷۰,۹۹۰ | ۷۰,۹۹۲ | -۰,۰۰۲ | ۱۳,۷ |
| ۳ | ۰ | ۲ | ۱,۲۵۲۰۱ | ۱,۲۵۱۸۶ | ۰,۰۰۰۱۵ | ۷۵,۹۴۰ | ۷۵,۹۵۱ | -۰,۰۱۱ | ۱۳,۳ |

جدول ۲ مقایسه داده‌های پراش پرتو X فاز $Mo(Si, Al)_2$ و فاز جدید $Mo_{2.85}Al_{1.91}Si_{4.81}$.

| | 2θ | d | 100*I/I ₀ | h | k | l |
|-------------------------------|-----------|------|----------------------|---|---|---|
| $Mo(Si, Al)_2$ (19-0032) | ۴۱,۱۸ | ۲,۱۹ | ۱۰۰ | ۱ | ۱ | ۱ |
| $Mo_{2.85}Al_{1.91}Si_{4.81}$ | ۴۰,۱۸ | ۲,۱۹ | ۱۰۰ | ۱ | ۱ | ۱ |
| | ۴۱,۳۱۵ | ۲,۱۸ | ۳۳,۴ | ۰ | ۰ | ۳ |

شناسایی و از طرف مرجع ICDD مورد تأیید قرار گرفته است [۶].

مراجع

[1] Yazdani-Rad R., Tayebifard S.A., Doroudian M., "Influence of Compaction Pressure and Atmosphere on SHS of Molybdenum Disilicide", International J. of Engineering Science, 14, 2 (2003) 51-63.

برداشت

در این کار پژوهشی، نمونه‌هایی در سیستم $Si - Al - Mo$ به روش SHS سنتز شدند. بسته به افزایش جانشینی Al در Si در ترکیب $Mo + 2(1 - x)Si + 2xAl$ فاز اصلی از $Mo(Si, Al)_2$ در $x = 0.2$ به فاز جدید $Mo_{2.85}Al_{1.91}Si_{4.81}$ در $0.3 \leq x \leq 0.5$ تغییر داده است که با آنالیز XRD

- powders*”, J. Solid State Chemistry, 177 (2004) 251–256.
- [5] Boutif A., Louer D., “*Indexing of powder diffraction patterns for low symmetry lattices by the successive dichotomy method*”, J. Appl. Crystallogr., 24 (1991) 987-993.
- [6] Tayebifard S.A., Ahmadi K., Yazdani-Rad R., Doroudian M., “*New X-ray powder diffraction data for $Mo_{2.85}Al_{1.91}Si_{4.81}$* ”, Powder Diffraction, 21, 3 (2006) 238-240.
- [2] Yazdani-Rad R., Tayebifard S.A., Doroudian M., “*Effect of preheating on SHS of $MoSi_2$* ”, International J. of Engineering Science, 13, 2 (2002) 73-78.
- [3] Ramberg C. E., Worrell W. L., “*Oxidation Kinetics and Composite Scale Formation in the System $Mo (Si,Al)_2$* ”, J. Am. Ceram. Soc., 85, 2 (2002) 444-452.
- [4] Lee J.H., Nersisyan H.H., Won C.W., “*The combustion synthesis of iron group metal fine*